

Заключение. Созданный макет аналого-цифрового преобразователя обладает следующими параметрами: число разрядов 8; статическая погрешность ± 1 квант в любой точке шкалы; диапазон входного сигнала $\pm 1,25$ В; частота запуска от 10 до 15 МГц (без появления дополнительных погрешностей); полоса сигнала, в которой погрешность преобразования сохраняется в пределах $\pm 1,5$ кванта при испытании по методике [4], составляет 7 МГц; выходные уровни — ТТЛ-логики.

Макет АЦП в течение года используется в цифровой телевизионной системе обработки изображений.

ЛИТЕРАТУРА

1. Касперович А. Н., Шалагинов Ю. В. Некоторые вопросы проектирования АЦП с использованием амплитудной свертки сигналов.— Автометрия, 1978, № 4.
2. Касперович А. Н., Мантуш О. М., Шалагинов Ю. В. Двухканальная система сбора и регистрации сигналов микросекундного диапазона.— ПТЭ, 1980, № 1.
3. Анализ и расчет интегральных схем/Под ред. Д. Линна, Ч. Мейера, Д. Гамильтона. М.: Мир, 1969.
4. Беломестных В. А., Вьюхин В. И., Касперович А. Н. Об одном способе экспериментального определения динамических свойств быстродействующих АЦП.— Автометрия, 1976, № 5.

Поступила в редакцию 24 ноября 1980 г.

УДК 621.317.725

Ю. В. ПОЛУБАБКИН, Ю. П. ПРОЗОРОВ, В. М. ШЛЯНДИН
(Пенза)

УЛУЧШЕНИЕ ДИНАМИЧЕСКИХ ХАРАКТЕРИСТИК ПАРАЛЛЕЛЬНО-ПОСЛЕДОВАТЕЛЬНЫХ АЦП

В последнее время возникла настоятельная необходимость в создании преобразователей аналог — цифра высокой точности (более 9—10 дв. разрядов) с частотой дискретизации 20—100 МГц и спектром входного сигнала выше 1 МГц. Преобразователи такого быстродействия могут быть построены по структуре параллельного АЦП или параллельно-последовательного АЦП с аналоговым запоминанием входного сигнала. Параллельные преобразователи выполняются, как известно, на основе амплитудного анализатора (АА), состоящего из набора пороговых элементов (ПЭ). Дискретизация входной величины в этом случае осуществляется стробированием либо самих пороговых элементов, либо регистра памяти, принимающего информацию с ПЭ. Так как процесс преобразования проходит за один такт и уровни квантования не претерпевают изменений, то динамические свойства таких преобразователей достаточно высоки и определяются в основном частотными свойствами ПЭ и частотой дискретизации. К недостатку параллельных АЦП следует отнести значительные аппаратурные затраты при количестве двоичных разрядов более 5—6.

Высокую частоту дискретизации имеют параллельно-последовательные АЦП, преобразование в которых осуществляется за 2 такта. Такие преобразователи имеют два АА (старших и младших разрядов), причем на АА младших разрядов подается разность между значениями входной и компенсирующей величин. При этом входная величина не должна измениться за время операции выделения разности и установления уровня компенсирующего напряжения (T) более чем на половину ступени кван-

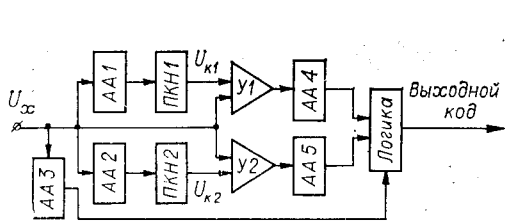


Рис. 1.

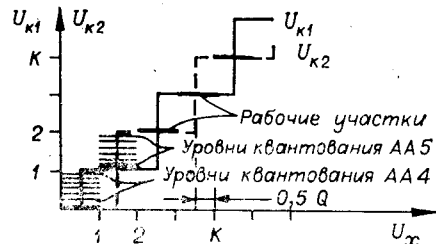


Рис. 2.

тования (q) младшего квантователя:

$$V \leq q/2T,$$

где V — скорость изменения входного сигнала.

Для того чтобы получить хорошие динамические характеристики в таких АЦП, приходится применять аналоговые запоминающие устройства (АЗУ). Однако создать АЗУ с погрешностью порядка 0,1% и полосой частот входного сигнала в единицы мегагерц очень сложно.

Высокими динамическими свойствами и высокой частотой дискретизации обладают преобразователи, выполненные на основе устройств аналоговой свертки (УАС) [1]. Такие устройства часто создаются с помощью дифференциальных каскадов, которые имеют значительную нелинейность и нестабильность функции преобразования, поэтому построение подобных АЦП с реализацией УАС на дифференциальных каскадах на 9 и более дв. разрядов в настоящее время не представляется возможным.

Рассматриваемая структурная схема АЦП [2] позволяет создавать на ее основе преобразователи, обладающие хорошими совокупными характеристиками (спектром входного сигнала, частотой дискретизации и точностью). Эта схема мало чем отличается от схемы параллельно-последовательного АЦП (рис. 1).

Однако если в классических структурах параллельно-последовательного преобразования K -й уровень компенсационной величины должен быть включен и установлен с заданной погрешностью в момент равенства входной величины K -му уровню квантования старшего набора ПЭ, то в данной структуре K -й уровень компенсационной величины включается в момент равенства входной величины уровню $K - 0,5Q$, Q — величина кванта старшего набора ПЭ (АА3) (рис. 2). Таким образом, особенностью данного алгоритма является то, что значения компенсационной величины формируются заранее с опережением. Для опережающего квантования служат АА1 и АА2, которые с помощью соответствующих им ПКН1 и ПКН2 формируют компенсационные величины. Каналы АА1 — ПКН1 и АА2 — ПКН2, как будет показано, можно сделать очень быстрыми. Все это позволяет значительно поднять допустимую скорость изменения входного сигнала. Так как уровни квантования АА1, АА2 разделены в пространстве, то необходимо иметь два квантователя младших разрядов АА4, АА5. АА3 старших разрядов определяет K -е уровни квантования старших разрядов, а также в зависимости от номера сработавшего порогового элемента АА3 (четный или нечетный) разрешает съем информации либо с первого, либо со второго АА младших разрядов. Возможно построение структур как с выделением разности между значениями входной и компенсирующей величин, так и без выделения разности, но со сдвигом опорных уровней младших АА. Для повышения динамических свойств преобразователя можно увеличить число параллельных каналов (рис. 3). При этом число пороговых элементов АА1 — АА5 в сумме останется неизменным, а увеличится количество устройств выделения разности и число амплитудных анализаторов младших разрядов.

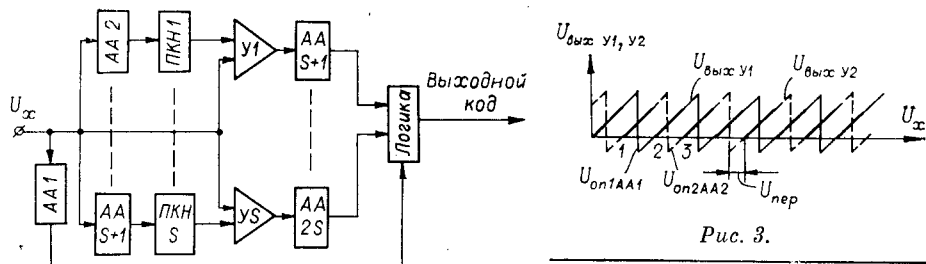


Рис. 4.

Функция преобразования (зависимость выходного напряжения усилителя разности от входного напряжения) 2-канального АЦП изображена на рис. 4.

Из структурной схемы (см. рис. 1) и функции преобразования (см. рис. 4) ясно, что пороги срабатывания ПЭ АА3 должны выдерживаться с точностью до ступени квантования всего АЦП.

К амплитудным анализаторам АА1 и АА2 предъявляются значительно меньшие требования: пороги их срабатывания могут колебаться в пределах ступени квантования амплитудного анализатора АА3. Это дает возможность дополнительно улучшить динамические свойства подобного АЦП, так как при снижении требования к точности пороговых элементов можно добиться большего быстродействия.

В частности, можно совместить функции АА1 и ПКН1 (а также АА2 и ПКН2) в параллельном наборе дифференциальных каскадов (рис. 5) [2]. В этом случае задержка включения компенсирующего напряжения при подаче скачка напряжения на вход будет минимальна и равна задержке, вносимой одним дифференциальным каскадом, но зона перекрытия $U_{\text{пер}} = Q/2$ (см. рис. 4) несколько уменьшится за счет более плавного переключения дифференциальных каскадов.

При реализации такого АА иногда бывает целесообразно применять дополнительные предварительные усилители. В этом случае задержка включения компенсационной величины несколько возрастет, но вместе с тем увеличится зона перекрытия $U_{\text{пер}}$, что в конечном счете может привести к улучшению динамических свойств АЦП.

Для определения динамических свойств рассматриваемой структуры обратимся к рис. 4, из которого ясно, что при линейно-изменяющемся входном сигнале в двухканальном АЦП время формирования компенсационной величины $t_{\Phi K}$ должно быть меньше половины времени прохождения входным сигналом двух соседних уровней квантования АА3:

$$t_{\Phi K} \leqslant (1/2)(U_{\text{вх max}}/2^m V'),$$

где $U_{\text{вх max}}$ — максимальное значение входного напряжения; V' — производная линейно-изменяющегося сигнала; m — количество двоичных разрядов, определяемых старшим АА. Тогда максимальную скорость линейно-изменяющегося напряжения для АЦП с любым числом каналов можно найти из выражения

$$V'_{\text{max}} \leqslant \frac{(S-1) U_{\text{вх max}}}{2^{m+1} t_{\Phi K}}, \quad (1)$$

S — количество параллельных каналов.

Время формирования компенсационной величины определяется как сумма времени задержки в цифровых схемах (t_{Φ}) и времени установления компенсирующего напряжения ($t_{\text{уст}}$):

$$t_{\Phi K} = t_{\Phi} + t_{\text{уст}}. \quad (2)$$

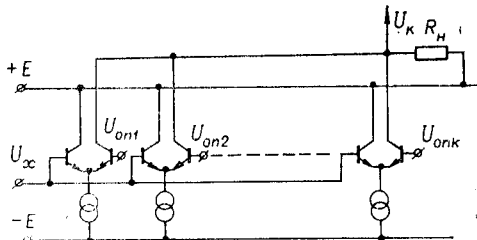


Рис. 5.

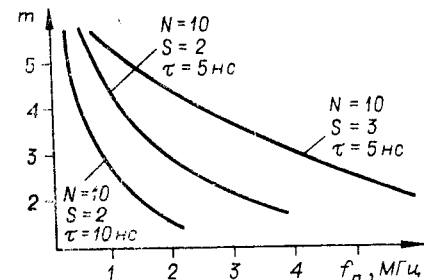


Рис. 6.

Определим $t_{\text{уст}}$ при использовании токового быстродействующего ПКН, который обычно представляется апериодическим звеном первого порядка [3], с постоянной времени $\tau = R_h C_{\text{пар}}$ (R_h — выходное сопротивление резистивной матрицы, $C_{\text{пар}}$ — суммарная паразитная емкость — емкость монтажа, входная емкость усилителя разности и т. д.). Переходный процесс считается оконченным, когда погрешность установления не будет превышать значения половины младшей ступени квантования АЦП. Учитывая, что значение сигнала, спадающего по экспоненте за время $t_{\text{уст}} = \tau \ln 2$, уменьшается в 2 раза по сравнению с предыдущим значением, и связав точность установления с количеством разрядов N всего АЦП, а также с величинами m и S , запишем:

$$t_{\text{уст}} \geq (N - m + \log_2 S + 1) \tau \ln 2. \quad (3)$$

Подставив (3) в (2), а (2) в (1), получим

$$V'_{\max} \leq \frac{(S - 1) U_{\text{вх max}}}{2^{m+1} [t_{\text{н}} + (N - m + \log_2 S + 1) \tau \ln 2]}. \quad (4)$$

Это выражение имеет смысл при $m \geq S$ и $S \geq 2$. Время задержки в цифровых схемах $t_{\text{н}}$ квантователя, создающего опережение, может быть сведено к минимуму при применении схемы, изображенной на рис. 5.

Выражение (4) связывает число разрядов преобразователя N , число разрядов, оцениваемых старшим АА, m , число каналов S и постоянную времени τ с максимальной скоростью линейно-изменяющегося входного сигнала. Для нахождения зависимости N , m , S , τ от предельно допустимой частоты синусоидального сигнала f_n (рис. 6) необходимо в (4) подставить максимальное значение производной синусоидального сигнала $V'_{\text{вх max}} = 2\pi f_n A$, где $A = U_{\text{вх max}}/2$,

$$f_n \leq (S - 1)/2^{m+1} [t_{\text{н}} + (N - m + \log_2 S + 1) \tau \ln 2] \pi. \quad (5)$$

Применяя двухканальную структуру и каналы AA1 — ПКН1, AA2 — ПКН2, построенные по схеме, изображенной на рис. 5, можно считать, что $t_{\text{н}} \leq \tau$; тогда

$$f_n \leq 1/2^{m+1} \{\tau [1 + (N - m + 2) \ln 2]\} \pi.$$

Частота дискретизации таких преобразователей определяется временной задержкой АА и логической части преобразователя, т. е. так же, как и у структур параллельных АЦП.

По результатам анализа данной структуры и ее динамических свойств можно сделать вывод, что в настоящее время на отечественной элементной базе возможно построение преобразователей с частотой дискретизации 50—100 МГц и количеством дв. разрядов [9—11]. При этом возможно преобразование сигналов со спектром частот в единицы мегагерц без использования аналогового запоминающего устройства на входе преобразователя (см. рис. 6).

ЛИТЕРАТУРА

1. Касперович А. Н., Шалагипов Ю. В. Некоторые вопросы проектирования АЦП с использованием амплитудной свертки сигнала.— Автометрия, 1978, № 4.
2. Полубабкин Ю. В., Прозоров Ю. П., Ломтев Е. А., Шляндин В. М. Быстродействующий АЦП. (Автор. свид.-во № 750722).— БИ, 1980, № 27.
3. Смолов В. Б. Микроэлектронные цифроаналоговые и аналого-цифровые преобразователи. М.: Энергия, 1976.

Поступила в редакцию 26 февраля 1980 г.

УДК 62-50 : 519.14

К. Р. ВИКСНА, З. П. МАРКОВИЧ

(Riga)

СИСТЕМЫ РЕАЛЬНОГО ВРЕМЕНИ ДЛЯ РЕШЕНИЯ КЛАССИФИКАЦИОННЫХ ЗАДАЧ В КЛИНИКЕ

К настоящему времени как в технической, так и в медицинской сфере имеется значительное количество алгоритмов диагностирования, позволяющих ставить правильные диагнозы с вероятностью 0,92—0,95. Однако количество лечебно-профилактических учреждений, где вычислительная техника обслуживает область медицинской диагностики, весьма ограничено. Трудности практического использования ЭВМ в этом направлении вызваны, на наш взгляд, следующим. С одной стороны, для решения диагностических задач необходимы диалоговый режим «врач — ЭВМ» без привлечения операторов и алгоритмических языков, наличие быстродействующих ЭВМ с достаточно большой памятью, возможность доступа к ЭВМ в произвольный момент времени. С другой стороны, связь с вычислительными центрами через терминалные устройства теоретически хотя и возможна, но практически реализована лишь в отдельных случаях. Кроме того, учреждения здравоохранения, как правило, не имеют мощных вычислительных средств, а обладают мини-ЭВМ типа «Искра-125», «Электроника-100», «Wang» и др.

Преодоление имеющихся трудностей возможно при комбинированном использовании больших и малых ЭВМ: подготовка и частичное решение задачи осуществляются на больших ЭВМ в ВЦ; введение конкретных входных данных и получение результатов распознавания — на мини-ЭВМ, работающей в режиме реального времени (на базе медицинского учреждения), с последующим возвращением опыта решения конкретных задач в универсальную ЭВМ. Контакт с мини-ЭВМ выполняется непосредственно медицинским персоналом без использования алгоритмических языков. При этом возможно как автоматическое, так и диалоговое решение задачи.

Разработка двух систем названного типа (система дифференциальной диагностики пяти вариантов приобретенных пороков сердца «Диагностика ППС» и система скрининга основных сердечно-сосудистых болезней ССБ-АВТО) практически реализована в клинике Латвийского НИИ кардиологии. В обеих системах в качестве мини-ЭВМ применен отечественный вычислительный комплекс «Искра-125».

Диагностика ППС. Система предназначена для распознавания следующих заболеваний: митрального стеноза (МС), митральной недостаточности (МН), митрального порока в сочетании с триkuspidальной недостаточностью (МП, ТН), аортального стеноза (АС), аортальной недостаточности (АН). Многоклассовая задача решается поэтапно дихотомической процедурой распознавания образов с формированием искусственных